

Slovenská technická univerzita v Bratislave  
Fakulta informatiky a informačných technológií

Evidenčné číslo: FIIT-XXXX-73688

Bc. Matúš Cuper

Identifikácia neštandardného správania odberateľov v  
energetickej sieti

Diplomová práca

Vedúci práce: Ing. Marek Lóderer

máj 2019

Slovenská technická univerzita v Bratislave  
Fakulta informatiky a informačných technológií

Evidenčné číslo: FIIT-XXXX-73688

Bc. Matúš Cuper

# Identifikácia neštandardného správania odberateľov v energetickej sieti

Diplomová práca

Študijný program: Inteligentné softvérové systémy

Študijný odbor: 9.2.5 Softvérové inžinierstvo, 9.2.8 Umelá inteligencia

Miesto vypracovania: Ústav informatiky a softvérového inžinierstva, FIIT STU v Bratislave

Vedúci práce: Ing. Marek Lóderer

máj 2019

## **Anotácia**

Slovenská technická univerzita v Bratislave

FAKULTA INFORMATIKY A INFORMAČNÝCH TECHNOLOGIÍ

Študijný program: Inteligentné softvérové systémy

Autor: Bc. Matúš Cuper

Bakalárska práca: Identifikácia neštandardného správania odberateľov v energetickej sieti

Vedúci práce: Ing. Marek Lóderer

máj 2019

V práci sme sa zamerali na identifikáciu anomálií v energetických časových radoch. Anomálie môžu vzniknúť na základe neštandardného správania odberateľov alebo poruchy inteligentného merača spotreby elektrickej energie. Cieľom diplomovej práce je identifikovať oba takéto prípady a znížiť tak straty distribučnej spoločnosti. Zároveň je nutné identifikovať iba také prípady, kedy sa jedná o dočasnú zmenu v správaní, či už je to dôsledkom zmeny počtu obyvateľov, počasia alebo výnimočnou udalosťou. So vznikajúcimi technológiami sa postupne mení aj profil spotreby odberateľov, a preto je nutné správne identifikovať aj nové trendy v dátach.

Analyzovali sme časové rady, anomálie a používané metódy na ich identifikáciu. Opísali sme problémy, ktoré vznikajú pri identifikácii anomálií v doméne energetiky, a ktorým musí čeliť aj naša metóda. Bližšie sme sa zamerali na zhľukovanie časových radov, ktoré prináša nové prístupy do zhľukovania vysokodimenzionálnych dát, medzi ktoré patrí aj vyhladzovanie, redukcia dimenzií alebo selekcia atribútov. Navrhovaná metóda zlúči diskretizované vyhladené časové rady a následne sú identifikované anomálie na základe vytvorených zhľukov a rozloženia profilu používateľa v zhľukoch.

## Annotation

Slovak University of Technology Bratislava  
FACULTY OF INFORMATICS AND INFORMATION TECHNOLOGIES  
Degree Course: Intelligent software systems  
Author: Bc. Matúš Cuper  
Bachelor thesis: Identification of abnormal behavior of customers in the power grid  
Supervisor: Ing. Marek Lóderer  
May 2019

In the thesis we focused on anomaly identification in energy time series. Anomalies can be caused by abnormal behavior of customers or failure of intelligent meter of electricity load. The aim of this master thesis is to identify these mentioned cases and reduce electricity loss of distribution company. Also it is necessary to identify only cases, when the behavioral change is temporal, whether it is result of different number of residents, weather or an exceptional occasion. Nowadays, electricity load profile of customers is changing as the new technologies are involved and therefore it is necessary to correctly identify new trends in data.

We also analyzed time series, anomalies and methods used for their identification. We described problems linked to identifications of anomalies in domain of electricity, while our method is facing these problems as well. We focused on time series clustering, which brings new approaches to clustering of multidimensional data, which includes also smoothing, dimension reduction and attribute selection. Proposed method clusters discretized smoothed time series and then, based on created clusters and layout of customers profile in cluster, identifies anomalies.

## **ČESTNÉ PREHLÁSENIE**

Čestne prehlasujem, že diplomovú prácu som vypracoval samostatne pod vedením vedúceho diplomovej práce a s použitím odbornej literatúry, ktorá je uvedená v zozname použitej literatúry.

.....  
Matúš Cuper

## **POĎAKOVANIE**

Ďakujem vedúcemu diplomovej práce Ing. Marekovi Lódererovi za odborné vedenie, cenné rady a pripomienky pri spracovaní diplomovej práce.

# Obsah

<b>1</b>	<b>Úvod</b>	<b>1</b>
<b>2</b>	<b>Analýza problému</b>	<b>2</b>
2.1	Časové rady . . . . .	2
2.1.1	Analýza časových radov . . . . .	2
2.1.2	Zložky časových radov . . . . .	3
2.1.3	Typy modelov časových radov . . . . .	4
2.1.4	Delenie časových radov . . . . .	4
2.2	Detekcia anomálií . . . . .	5
2.2.1	Typy anomálií . . . . .	7
2.2.2	Prístupy k identifikácii anomálií . . . . .	8
2.2.3	Techniky detekcie anomálií . . . . .	8
2.3	Metódy zhlukovania časových radov . . . . .	9
2.3.1	Zhlukovanie na základe dočasnej blízkosti . . . . .	10
2.3.2	Zhlukovanie na základe reprezentácie . . . . .	11
2.3.3	Zhlukovanie na základe modelu . . . . .	11
2.3.4	Ďalšie prístupy k zhlukovaniu . . . . .	11
2.3.5	Metriky vzdialenosti . . . . .	12
2.4	Redukcia dimenzií a výber atribútov . . . . .	14
2.4.1	Predspracovanie dát . . . . .	15
2.4.2	Výber atribútov . . . . .	15
2.4.3	Feature extraction . . . . .	15
2.4.4	Agregácia dát . . . . .	15
2.4.5	Redukcia dát . . . . .	15
2.4.6	Segmentácia časových radov . . . . .	16
2.5	Anomálie v energetických časových radoch . . . . .	16
2.6	Vyhodnocovacie metriky . . . . .	18
2.7	Súvisiace práce v doméne energetiky . . . . .	19
<b>3</b>	<b>Špecifikácia požiadaviek</b>	<b>20</b>
	<b>Dodatok A Plán do zimného semestra</b>	<b>I</b>
	<b>Dodatok B Plán do letného semestra</b>	<b>II</b>

# 1 Úvod

Jedným z problémov, ktorým v súčasnosti čelia distribučné spoločnosti, je detekcia neštandardného správania odberateľov. Jej úlohou je identifikovať profily zákazníkov, ktorí svojím správaním porušujú stanovené podmienky a manipulujú s hodnotami nameranými meračmi za cieľom obohatenia sa. Samozrejme tiež dochádza k prípadom, kedy je presnosť meracieho zariadenia nižšia aj bez zapríčinenia zákazníka. Oba prípady sú pre distribučnú spoločnosť nežiadúce a je v záujme zníženia strát ich, čo najskôr identifikovať. Obvykle sú za týmto účelom vykonávané náhodné kontroly, ktoré pokrývajú iba nízky počet zákazníkov s anomálnym správaním. Na základe množstva dát získavaných z inteligentných meračov je možné modelovať správanie zákazníkov. Distribučné spoločnosti tak môžu znižovať svoje straty a preverovať iba odberateľov, ktorí svojím profilom nezapadajú medzi odberateľov so štandardným správaním.



## 2 Analýza problému

Tak ako je spomenuté v článku [12], straty v distribučných sieťach v niektorých krajinách tvoria až 30% z celkového objemu distribuovanej energie. Väčšinu strát vytvára svojimi vlastnosťami samotná sieť, no nezanedbateľnú časť tvoria aj nelegálne odbery. Pravidelná kontrola všetkých odberateľov by bola časovo aj finančne náročná, preto je potrebné správne identifikovať zákazníkov s neštandardnou spotrebou energie, čím sa minimalizujú náklady spojené s kontrolami. Zatiaľ čo v minulosti bola možná identifikácia nelegálnych odberov len fyzickou kontrolou, dnes vieme obmedziť okruh podozrivých aj na diaľku, keďže inteligentné merače nám poskytujú dáta v pravidelných intervaloch s minimálnou odchýlkou.

Vďaka tomu vznikajú nové možnosti identifikácie neštandardného správania využitím dátovej analytiky a strojového učenia. Zatiaľ čo väčšina algoritmov na identifikáciu anomálií pracuje s nízkorozmernými dátami, časové rady predstavujú presný opak a použité metódy sa líšia od tých klasických. Výzvou pri skupinových a kontextových anomáliách je aj vhodný výber premenných, na základe ktorých budú anomálie identifikované. Zvýšenie presnosti pri hľadaní anomálií môžeme docieľiť kombinovaním rôznych zdrojov dát, či už by sa jednalo o počasie alebo údaje z inteligentných meračov iných druhov energie. Cieľom tejto kapitoly je preto analyzovať a porovnať používané metódy pri detekcii anomálií v časových radoch a zamerať sa najmä na vhodnú reprezentáciu jednotlivých odberateľov pomocou získaných dát.

### 2.1 Časové rady

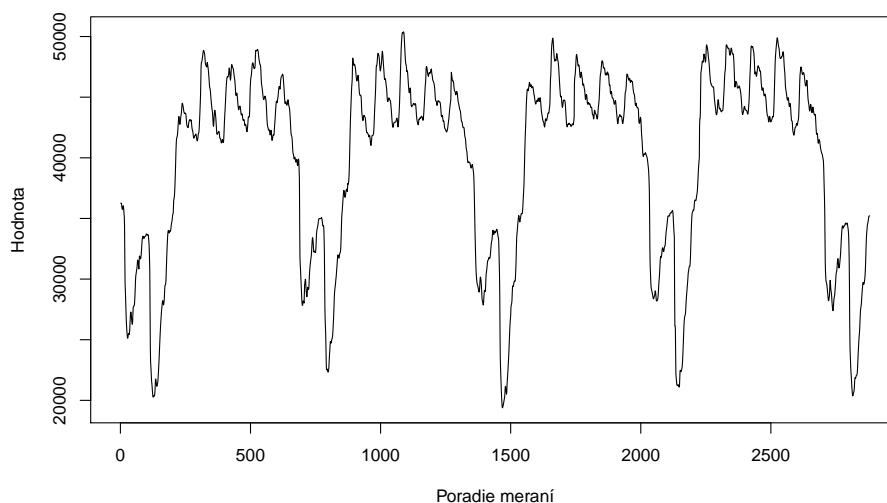
Merania časových radov predstavujú množinu dátových bodov, usporiadané v chronologickom poradí. Takúto množinu môžeme definovať ako množinu vektorov  $x(t)$ , kde premenná  $x$  predstavuje časový rad a  $t$  čas, kedy bolo meranie vykonané. Časové rady pozostávajúce z meraní jednej veličiny sa nazývajú jednorozmerné, pri meraní viacerých veličín sa jedná o viacrozmerné časové rady. Tiež ich môžeme rozdeliť na spojité a diskrétné. Spojité časové rady merajú pozorovanú veličinu v každej jednotke času. Môže sa jednať napr. o počasie, veľkosť prietoku rieky alebo koncentráciu látok pri chemických procesoch. Diskrétné časové rady sú pozorované spravidla v rovnakých časových intervaloch, napr. rokoch, dňoch či minútach. Stretnúť sa s nimi môžeme pri kurzoch mien, produkcii štátov či spotrebe elektrickej energie [1].

#### 2.1.1 Analýza časových radov

Časové rady môžeme reprezentovať pomocou matematického modelu, ktorého parametre sú dané nameranými dátami. Parametre sú určené na základe dátovej analýzy nazhromaždených dát. Cieľom je určiť parametre tak, aby predikcia výsledného modelu bola čo najpresnejšia. Proces analýzy a úpravy parametrov je možné opakovať pokiaľ model nedosahuje dostatočne uspokojivé výsledky [1].

Premenná  $\hat{x}$  vo vzorci 1 predstavuje predikovanú hodnotu časového radu  $x$ . Cieľom je nájsť funkciu  $f(x)$ , ktorá predikuje budúce hodnoty časového radu  $x$  tak, aby boli čo najpresnejšie, konzistentné a objektívne [19].

$$\hat{x}(t + \Delta_t) = f(x(t - a), x(t - b), x(t - c), \dots) \quad (1)$$



Obr. 1: Príklad trendovej zložky časového radu.

### 2.1.2 Zložky časových radov

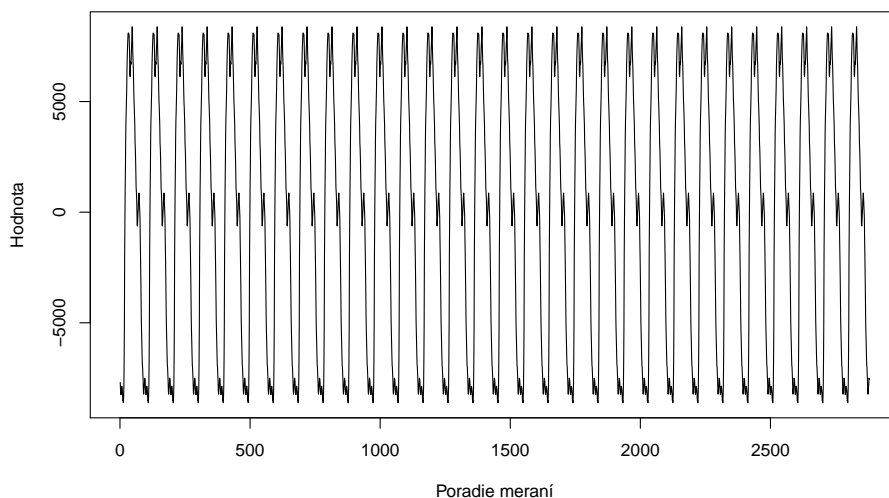
Na vývoj časových radov vplývajú ich jednotlivé komponenty, z ktorých pozostávajú. Ich vývoj je ovplyvnený rôznymi faktormi, či už ekonomickými, ekologickými, počasím, sviatkami alebo kultúrou. Priebehy grafou jednotlivých komponentov potom môžu byť cyklické, rastúce, klesajúce alebo stagnujúce v závislosti od toho, či existuje zmena, ktorá je trvalá alebo opakujúca. Taktiež aj veľkosť periódy tohto cyklu môže byť rôzna, a to niekoľko dní, mesiacov či rokov. Keďže prostredie, v ktorom meriame predpovedanú veličinu sa vyvíja, rovnako sa vyvíja aj správanie pozorovanej veličiny. Preto je potrebné pri modelovaní správania uvažovať jednotlivé komponenty časového radu. V literatúre sa najčastejšie stretávame s rozdelením do 4 komponentov, a to trendová, cyklická, sezónna a reziduálna zložka [8].

**Trendová zložka** zastupuje dlhodobé správanie časového radu. Ide o dlhodobé klesanie, rast alebo stagnáciu časového radu. Príkladom môže byť neustále predlžovanie priemernej doby dožitia alebo aj rast svetovej populácie. Priebeh dekomponovanej trendovej zložky môžeme vidieť na obrázku 1 [1].

**Cyklická zložka** predstavuje strednodobú opakujúcu sa zmenu. Najčastejšie sa pri tom jedná o obdobie 2 a viac rokov. Táto zložka býva výrazne zastúpená pri ekonomických a finančných časových radoch. Príkladom môže byť aj podnikateľský cyklus, ktorý pozostáva zo 4 opakujúcich sa fáz [1].

**Sezónna zložka** kolísá počas roka a predstavuje tak striedanie ročných období. Priebeh funkcie je ovplyvňovaný najmä podnebnými podmienkami a počasím, ale aj kultúrou, náboženstvom či tradíciami. Príkladom môže byť predaj sezónnych výrobkov, ktorý sa počas roka výrazne mení. Priebeh funkcie dekomponovanej zložky môžeme vidieť na obrázku 2 [1].

**Reziduálna zložka** v literatúre často označovaná aj ako náhodná zložka alebo biely šum, predstavuje nepredvídateľnú veličinu, ktorá nesystematicky ovplyvňuje pozorovaný časový



Obr. 2: Príklad sezónnej zložky časového radu.

rad. Metóda jej merania zatiaľ nie je v štatistike definovaná. Priebeh funkcie nemá žiadny vzor a môže vznikať na základe prírodných katastrof, ale aj nepredvídateľnej zhody náhod. Príklad priebehu môže byť aj graf znázornený na obrázku 3 [1].

### 2.1.3 Typy modelov časových radov

Kombináciou komponentov časových radov identifikovaných v predchádzajúcej kapitole vznikajú 2 typy modelov, aditívny a multiplikatívny.

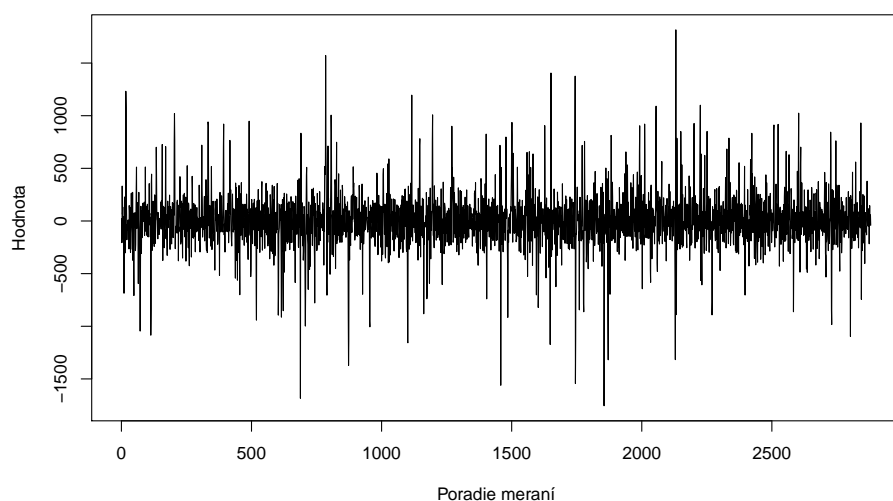
$$\begin{aligned} Y(t) &= T(t) \times S(t) \times C(t) \times I(t) \\ Y(t) &= T(t) + S(t) + C(t) + I(t) \end{aligned} \quad (2)$$

Vo vzorci 2,  $Y(t)$  predstavuje meranie pozorovanej veličiny v čase  $t$ . Ostatné premenné  $T$ ,  $S$ ,  $C$  a  $I$  reprezentujú trendový, sezónny, cyklický a reziduálny komponent. Veličiny multiplikatívneho modelu sa môžu vzájomne ovplyvňovať, zatiaľ čo pri aditívnom modeli predpokladáme ich nezávislosť. Multiplikatívny model je znázornený na obrázku 4 a aditívny na obrázku 5 [1].

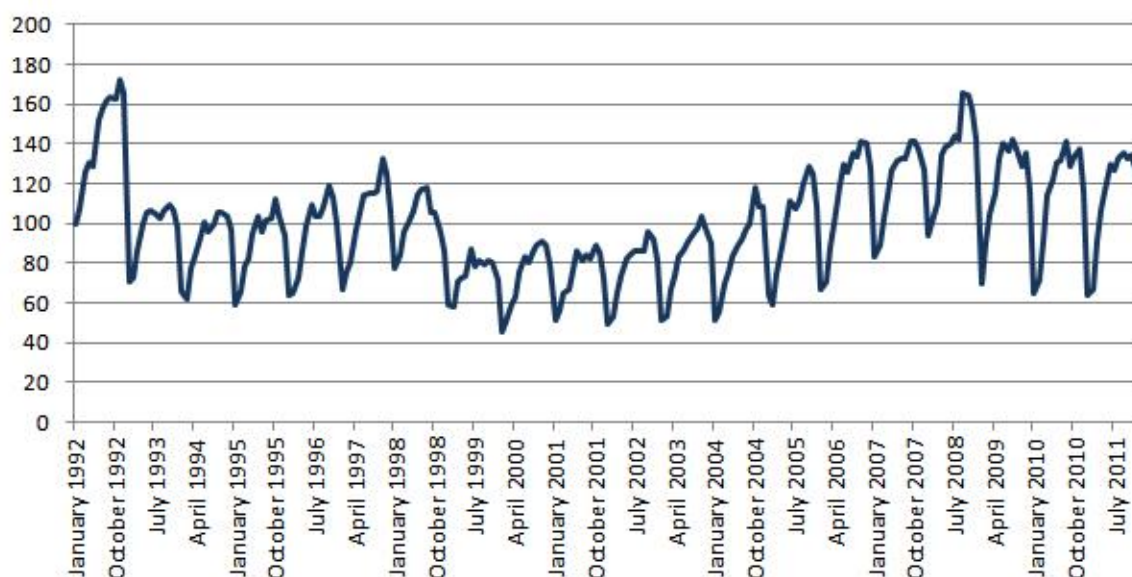
### 2.1.4 Delenie časových radov

Výraznými vlastnosťami časových radov sú aj synchronnosť a periodicita, znázornená na obrázkoch 6 a 7. Vznikajú tak 4 nasledujúce kategórie [24]:

- **Periodické a synchronné časové rady** predstavujú najjednoduchšiu kombináciu, keďže každý časový rad má konštantnú časovú periódu a zároveň sú všetky časové rady časovo zarovnané na konkrétny časový bod.
- **Neperiodické a synchronné časové rady** nemajú žiadnu periodicitu, ale opäť sú časovo zarovnané.



Obr. 3: Príklad reziduálnej zložky časového radu.

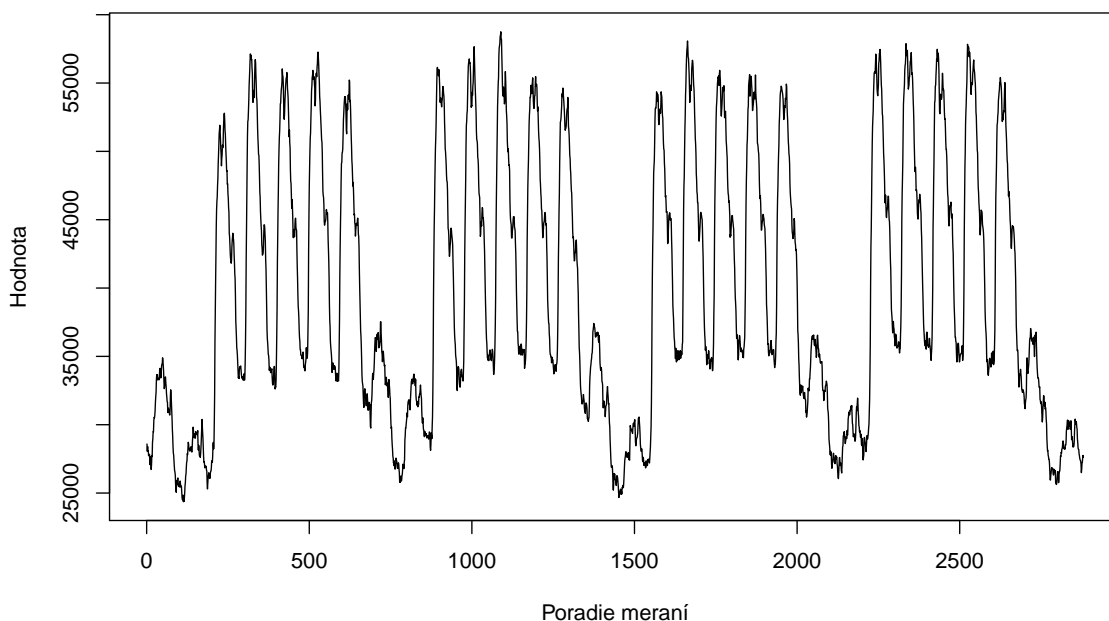


Obr. 4: Príklad multiplikatívneho modelu, index stavebnej produkcie Slovenska, Eurostat.

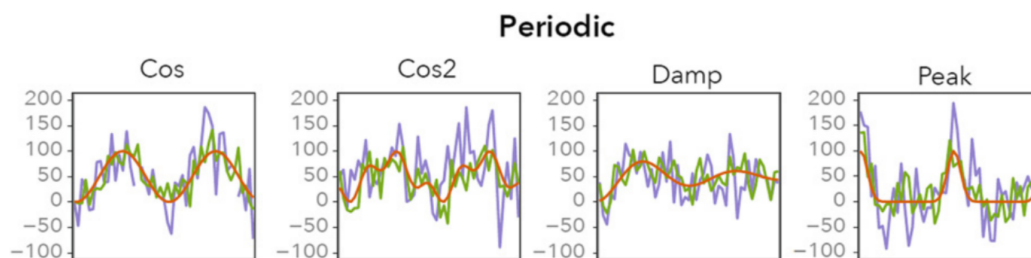
- **Periodické a asynchrónne časové rady** nie sú časovo zarovnané, ale obsahujú periodicitu, čiže začiatok periódy v každom časovo rade je iný.
- **Neperiodické a asynchrónne časové rady** predstavujú skupinu, do ktorej spadajú ostatné časové rady, ktoré neobsahujú periodicitu a ani synchrónnosť.

## 2.2 Detekcia anomálií

Anomálne správanie alebo anomália je definovaná ako vzor v správaní, ktorý nezodpovedá štandardnému správaniu. Pri dátach z inteligentných meračov, anomália zodpovedá meraniu, ktoré sa nenachádza v oblasti normálnych dát.



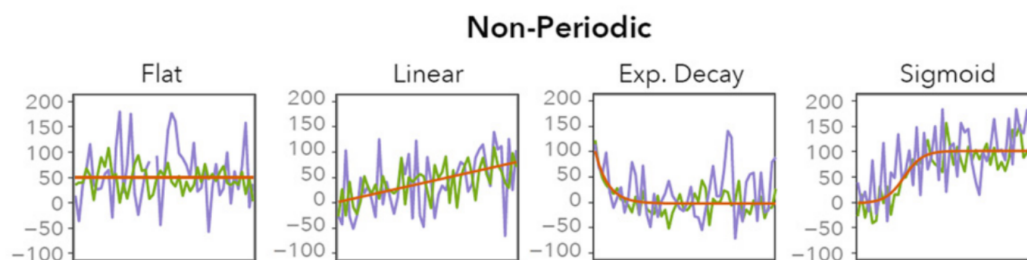
Obr. 5: Príklad aditívneho modelu.



Obr. 6: Príklad periodických časových radov [15].

Pri identifikácii anomálií je najskôr potrebné zamyslieť sa nad nasledovnými problémami [2]:

- **Definovanie oblasti normálnych dát** je veľmi náročné, nakoľko hranica medzi normálnymi dátami a anomáliami je nepresná a môže tak dojsť k nesprávnemu označeniu meraní.
- **Anomálie vytvorené škodlivou činnosťou** sa javia ako normálne dáta, čo sťažuje definíciu normálneho správania.
- **Evolúcia dát** spôsobuje, že definícia normálneho správania sa môže časom zmeniť.
- **Presná predstava o anomálii** je často rôzna naprieč viacerými odbormi, a preto neexistuje univerzálny spôsob na určovanie anomálií.
- **Dostupnosť označených dát** zlepšuje presnosť identifikácie anomálií, avšak často takéto dáta neexistujú alebo ich je potrebné označiť.



Obr. 7: Príklad neperiodických časových radov [15].

- **Biely šum** vyskytujúci sa v dátach má tendenciu skresľovať normálne dáta, ktorých identifikácia je následne zložitá.

Na detekciu anomálií sú používané aj algoritmy určené na klasifikáciu, ako je napríklad naivný Bayesovský klasifikátor (angl. *Naive Bayes*), k-najbližší susedia (angl. *k-nearest neighbors*), rozhodovacie stromy (angl. *decision tree*), náhodné lesy (angl. *random forests*), neurónové siete so spätnou propagáciou (angl. *neural networks with backpropagation*) alebo metóda podporných vektorov (angl. *support vector machine*) [4].

### 2.2.1 Typy anomálií

Dôležitým aspektom pri uplatnení detekcie anomálií je charakter anomálie. Z toho dôvodu môžeme anomálie rozdeliť do nasledujúcich troch skupín.

**Bodové anomálie** predstavujú inštancie, ktoré sa nenachádzajú v oblasti normálnych dát a je možné ich detegovať jednotlivo. Jedná sa o najjednoduchší typ anomálie a sústreďuje sa naň väčšina výskumov. Príkladom zo skutočného života môže byť detekcia podvodov s kreditnými kartami, kedy transakcia výrazne väčšieho objemu peňazí predstavuje podvod, zatiaľ čo ostatné transakcie, nachádzajúce sa v normálnom rozsahu predstavujú normálne dáta, ktoré nie sú anomáliou [2].

**Kontextové anomálie** predstavujú inštancie, ktoré sa nachádzajú v oblasti normálnych dát, ale v špecifickom kontexte sú považované za anomáliu. Kontext je daný kontextovými atribútmi v dátach, na základe ktorých sa určujú susedné inštancie. Nekontextové atribúty, nazývané aj behaviorálne, reprezentujú meranú veličinu. Napríklad pri meteorologických meraniach, budú informácie o polohe alebo nadmorskej výške predstavovať kontextové atribúty, zatiaľ čo množstvo zrážok alebo slnečných hodín budú behaviorálne atribúty [2].

Anomálne správanie inšancií je dané behaviorálnymi atribútmi v určitom kontexte. Čiže ak inštancia s danými behaviorálnymi atribútmi je považovaná za normálnu, iná inštancia s rovnakými behaviorálnymi, ale s rôznymi kontextovými atribútmi môže byť považovaná za anomáliu. Kontextové anomálie boli najčastejšie identifikované v časových radoch. Príkladom môžu byť opäť transakcie väčšieho objemu peňazí, ktoré sú bežné v období pred Vianocami, ale neštandardné v inom ročnom období [2].

Zatiaľ čo v niektorých prípadoch je definovanie kontextu priamočiare, existujú domény, kde to jednoduché nie je. Dôležité je aby kontextové atribúty boli zmysluplne určené v cieľovej doméne ich aplikácie [2].

**Skupinové anomálie** sa nachádzajú v oblasti normálnych dát, ale skupina týchto inštancií tvorí spolu anomáliu. Vzniknutá anomália obsahuje sekvenciu inštancií, ktorá by pri inom zoradení nepredstavovala anomáliu. Taktiež sa jednotlivé inštancie môžu nachádzať v rozsahu normálnych dát. Príkladom môžu byť systémové volania operačného systému, ktoré sú v prípade dodržania určitej postupnosti označené ako činnosť škodlivého softvéru [2].

Zatiaľ čo bodové anomálie sa môžu vyskytovať v každom datasete, skupinové sa vyskytujú iba v datasetoch, kde existuje medzi inštanciami vzťah. Pri kontextových anomáliách je potrebné určiť kontextové atribúty, ktoré sa v niektorých datasetoch ani nemusia nachádzať. Problém detekcie bodových a skupinových anomálií je možné transformovať na problém detekcie kontextových anomálií, v prípade, že sa prihliada na kontext jednotlivých inštancií. Techniky používané pri detekcii skupinových anomálií sa značne líšia od techník používaných pri bodových a kontextových anomáliách [2].

## 2.2.2 Prístupy k identifikácii anomálií

V praxi sa stretávame s datasetmi, ktoré sa líšia v množstve označených dát, počte typov anomálií, ktoré budeme detegovať alebo aj pomerom medzi normálnymi inštanciami a tými neštandardnými. Často je označovanie inštancií vykonávané manuálne ľudskými expertmi drahé a neefektívne. Taktiež proces spätnej väzby môže byť zdĺhavý a nepraktický. Z toho dôvodu je dôležité zvoliť správny prístup pri identifikácii anomálií. V súčasnosti existujú 3 prístupy, a to detekcia anomálií s učiteľom (angl. *supervised learning*), bez učiteľa (angl. *unsupervised learning*) a ich kombinácia (angl. *semi-supervised learning*) [2].

**Detekcia bez učiteľa** nepotrebuje označené trénovacie dáta, vďaka čomu je široko aplikovateľná a často používaná. Vychádza z predpokladu, že normálne inštancie majú majoritné zastúpenie v množine. Ak táto podmienka nie je splnená, dochádza tak často k falošnému alarmu [2].

**Detekcia s učiteľom** potrebuje trénovacie dáta s označenými inštanciami ako normálnymi, tak aj anomálnymi. Cieľom je vytvoriť prediktívny model, ktorého úlohou je určiť triedu inštancie. Problémom je, že anomálnych inštancií v porovnaní s normálnymi je omnoho menej a označenie dát ľudským expertom môže byť pri anomálnej inštancii náročné [2].

**Kombinované učenie** je kombináciou predchádzajúcich dvoch prístupov a počíta s označenou iba jednou triedou inštancií. Typicky sú označené normálne inštancie, keďže ich identifikácia je menej náročná. V takom prípade je vytvorený model pre normálnu triedu a identifikácia anomálií prebieha v testovacej vzorke dát [2].

## 2.2.3 Techniky detekcie anomálií

Detegovať anomálie rôznych typov môžeme niekoľkými spôsobmi, čo závisí aj od samotných dát. Ich úplnosť, množstvo a oblasť, v ktorej boli zozbierané sú kritické pre správny výber techniky, pomocou ktorej budú anomálie identifikované. Nás budú zaujímať najmä detekcie anomálií v časových radoch. Popísané metódy sú najmä z oblasti strojového učenia a dátovej analýzy, ale pre úplnosť sú spomenuté aj iné používané metódy.

**Klasifikácia** Pomocou naučeného modelu, nazývaného aj klasifikátor, sú rozoznávané triedy jednotlivých inštancií. Pri detekcii anomálneho správania, klasifikátor rozlišuje iba medzi dvoma triedami, triedou normálnych dát a anomálií. Vzhľadom na to, že na natréňovanie klasifikátora sú potrebné označené dáta, ide o učenie s učiteľom. Na implementovanie klasifikátora môžeme použiť techniky založené na rôznych typoch neurónových sietí, Bayesových sieťach, pravidlových systémoch či metóde podporných vektorov [2, 23].

**Analýza najbližšieho suseda** Metóda určí na základe vzdialenosti alebo podobnosti medzi dátovými inštanciami, či sa jedná o normálnu inštanciu alebo anomáliu. To je vypočítané pomocou vzdialeností medzi testovanou inštanciou a všetkými bodmi, alebo iba  $k$  najbližšími bodmi. Pri viacrozmerných dátach je vzdialenosť určovaná pre každú dimenziu zvlášť. Metóda je založená na predpoklade, že zatiaľ čo normálne inštalácie sa nachádzajú pri sebe a sú husto usporiadané, anomálie sú vzdialenejšie, prípadne na okraji vzniknutých oblastí. Aplikácia je možná pomocou techník založených na relatívnej hustote alebo vzdialenosti najbližších  $k$  susedných inštancií [2, 23].

**Zhlukovanie** Jedná sa o učenie bez učiteľa, keďže zhľuky inštancií sú vytvorené na základe ich vzdialenosti či podobnosti. Techniky ďalej delíme do kategórií na základe predpokladu o dátových inštanciách [2, 23].

Prvá kategória predpokladá, že normálne inštalácie patria do zhľuku, zatiaľ čo anomálne nepatria do žiadneho. Používané sú zhľukovacie algoritmy ako DBSCAN alebo ROCK, pri ktorých nie nutne každá inštancia musí patriť do zhľuku. Nevýhodou algoritmov môže byť neoptimálne použitie pri detekcii anomálií, keďže sú primárne určené na riešenie zhľukovacích problémov [2].

Druhá kategória predpokladá, že normálne inštalácie ležia v blízkosti najbližšieho centroidu a anomálne inštalácie sú od neho vzdialené. Algoritmy väčšinou pozostávajú z dvoch krokov, v prvom sú inštalácie pridelené do zhľuku a v druhom je vypočítané ich anomálne skóre na základe vzdialenosti od centroidu daného zhľuku. Používanými algoritmami sú neurónové siete (konkrétne SOM) alebo algoritmus  $k$ -means, ktoré sa môžu učiť aj pomocou kombinovaného učenia [2].

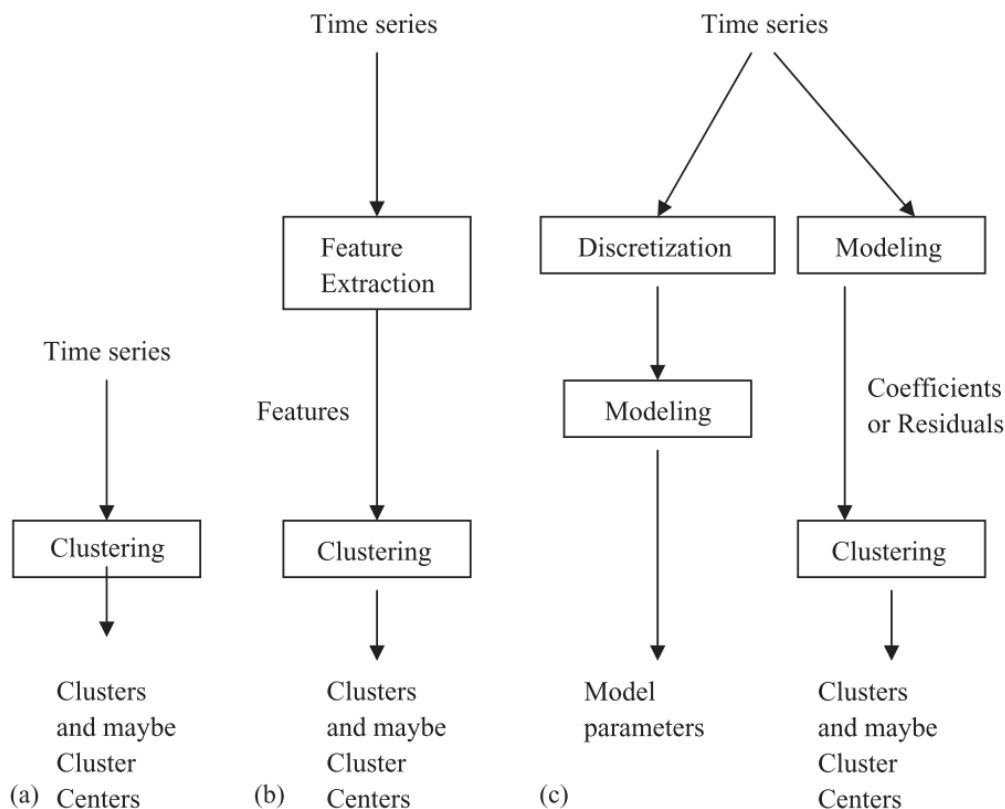
Posledná kategória pracuje s predpokladom, že normálne inštalácie sú súčasťou veľkých a hustých zhľukov, na druhej strane anomálie patria do malých a riedkych zhľukov. Používanými algoritmami sú napr. CBLOF (angl. *Cluster-Based Local Outlier Factor*) alebo  $k$ -d stromy. V princípe algoritmy najskôr vytvárajú zhľuky a až potom určujú, na základe ich hustoty, či sa jedná o normálne zhľuky alebo anomálie. Zhľuk je vytvorený iba v prípade, že inštancia sa nachádza mimo preddefinovaného rádiusu od centra daného zhľuku [18].

## 2.3 Metódy zhľukovania časových radov

Cieľom zhľukovania je rozdeliť dátové inštalácie do  $k$  zhľukov na základe spoločných čŕt. V prípade, že inštalácie sú reprezentované nízkodimenzionálnym vektorom v Euklidovskom priestore, môžu byť na zhľukovanie použité klasické techniky spomenuté v 2.2.3. Ak inštalácie reprezentujú časový rad, nasadenie takýchto štandardných prístupov je zriedkavé [9].

Metódy používané na zhľukovanie časových radov môžeme rozdeliť do 3 skupín, na základe reprezentácie dát, s ktorými pracujú. Prvá skupina predpokladá surové dáta, druhá pracuje s extrahovanými vlastnosťami z dát a posledná metóda pristupuje k dátam pomocou vytvoreného modelu. Rozdelenie môžeme vizualizovať pomocou obrázka 8. Prístupy sú opísané v nasledujúcich podkapitolách [16].





Obr. 8: Prístupy k zhlukovaniu založené na a) dočasnej blízkosti, b) reprezentácie, c) modely.

### 2.3.1 Zhlukovanie na základe dočasnej blízkosti

Metóda (angl. *Temporal-Proximity based clustering approach*) pracuje priamo so surovými, neupravenými dátami, kvôli čomu sa zvykne nazývať aj zhlukovanie na základe surových dát (angl. *Raw data based clustering approach*). Hlavným princípom je vystriedanie viacerých vzdialenostných alebo podobnostných metrík pre použité časové rady [16].

**Hierarchické zhlukovanie** Táto metóda produkuje vnorenú hierarchiu skupín podobných časových radov na základe vzdialenostných matíc jednotlivých inštancií. Výhodou je, že nie je nutné zadávať počet zhlukov, ktoré ideme identifikovať. Nevýhodou je obmedzenie výpočtu iba na menšie datasets, keďže výpočtová zložitosť tejto metódy je kvadratická [6].

Metóda hierarchického zhlukovania zoskupuje časové rady do stromu zhlukov. Vo všeobecnosti existujú dva typy týchto metód, aglomeratívne a deliace. Aglomeratívne metódy zo začiatku umiestňujú časové rady do samostatného zhluku, až potom ich postupne spájajú do väčších zhlukov až pokiaľ neexistuje jediný zhluk alebo nie je ukončovacou podmienkou práve  $k$  zhlukov. Deliace metódy sú pravým opakom, kedy sú jednotlivé zhluky postupne delené na menšie a umiestňované do hierarchického stromu. Na zlepšenie kvality zhlukovania pri hierarchickom zhlukovaní sú používané bežné zhlukovacie techniky [26].

**Agglomeratívne zhlukovanie** Vzdialenosť medzi dvoma zhlukmi je meraná pomocou dvojice najbližších časových radov umiestnených v rôznych zhlukoch, ktoré sú potencionálnymi kandidátmi na zlúčenie. Podobnosť môže určovať aj *Wardov algoritmus minimálnej variance*, ktorý zlúči zhluky s najmenším nárastom variance. V každom kroku sú tak vyskúšané

všetky kombinácie dvojíc zhlukov, až potom je vybrané minimum. Porovnávané časové rady nemusia mať vždy rovnakú dĺžku. Nevýhodou metódy je najmä vysoký počet operácií, ale aj neschopnosť spätne zmeniť rozhodnutie zlúčiť zhluky [26].

**Deliace zhľukovanie** Algoritmus nie je obmedzený iba na časové rady rovnakej dĺžky. Zároveň tiež nie je možné zmeniť delenie zhľuku, ktoré už bolo vykonané. Na meranie vzdialenosti môžu byť použité metriky opísané v 2.3.5 [26].

### 2.3.2 Zhľukovanie na základe reprezentácie

Keďže manipulácia so surovými dátami je často náročná a dáta navyše obsahujú nadbytočné informácie, táto metóda (angl. *Representation based clustering approach*) najskôr transformuje dáta do vektoru vlastností až následne sú aplikované zhľukovacie algoritmy. V literatúre sa zvykne označovať aj ako zhľukovanie na základe vlastností (angl. *Feature based clustering approach*) [16].

**Samoorganizované mapy** Trieda neurónových sietí, kde neuróny sú usporiadané v nízkodimenzionálnej štruktúre a tréňované iteratívne a bez učiteľa. Tréňovací proces začína pridelením náhodných hodnôt váhovým vektorom  $w$ . Každá iterácia tréňovania pozostáva z 3 krokov a to náhodného výberu vstupného vektoru z tréňovacej množiny, evaluácie siete a aktualizovaní váhových vektorov. Po natréňovaní je vypočítaná Euklidovská vzdialenosť medzi vstupným vzorom a váhovým vektorom. Následne je neurón s najmenšou vzdialenosťou označený ako  $t$  a ostatné váhy ostatných neurónov sú aktualizované v závislosti od vzdialenosti od neuróna  $t$ . Nevýhodou je opäť náročné spracovanie časových radov rôznych dĺžok, keďže dĺžka časového radu definuje aj dĺžku váhového vektora  $w$  [11, 26].

### 2.3.3 Zhľukovanie na základe modelu

Metóda (angl. *Model based clustering approach*) predpokladá, že každý časový rad je generovaný nejakým modelom alebo pravdepodobnostnou distribúciou. Časové rady sú považované za podobné ak aj modely charakterizujúce jednotlivé časové rady sú si podobné [16].

**ARIMA** V práci [28] autori navrhli metódu zhľukujúcu jednorozmerné časové rady. Predpokladali, že časové rady sú vygenerované  $k$  rôznymi ARIMA modelmi. Vylepšili algoritmus na maximalizáciu očakávaní (angl. *expectation maximalization algorithm*) tak, že sa naučil správne určiť koeficienty a parametre jednotlivých modelov zvyšovaním počtu modelov až do momentu, kedy vznikol redundantný model. Algoritmus zkonvergoval v prípade, že počet modelov nebol väčší ako aktuálny počet zhľukov. Na záver boli odstránené podobné modely, čím sa ešte zmenšil výsledný počet zhľukov  $k$ .

### 2.3.4 Ďalšie prístupy k zhľukovaniu

Ďalší prístup je založený na oknách fixnej veľkosti (angl. *Windows based clustering approach*). V diskretizovaných časových radoch sú následne identifikované anomálne úseky. Nevýhodou metódy je náročnosť voľby správnej veľkosti okna tak, aby zachytila anomáliu a jej výpočtová zložitosť [24].

Prístup založený na skrytých Markovských modeloch (angl. *Hidden Markov models based approach*) je reprezentovaný výkonným konečným stavovým strojom. Vychádza z predpokladu, že existuje skrytý proces, ktorý je Markovský a zároveň generuje normálne časové rady.

Nevýhodou je, že technika zlyháva v prípade, že takýto proces neexistuje. Na základe vytvoreného Markovského modelu sú merania, skupina meraní alebo celý časový rad označené za anomálie [24].

### 2.3.5 Metriky vzdialenosti

Kľúčovou záležitosťou pri zhľukovaní časových radov na základe ich podobnosti, je meranie vzdialenosti medzi nimi. Rovnako ako pri zhľukovaní bodových inštancií je potrebné definovať si metódy merania vzdialenosti. Najčastejšími metrikami sú Euklidovská a Manhattanovská vzdialenosť. Vhodnosť aplikovania týchto klasických metód je nízka, keďže nameraná vzdialenosť zachytáva aj použitú škálu v dátach. Pri porovnávaní časových radov nás spravidla zaujíma zmena krivky časového radu a rovnaká dĺžka porovnávaných časových radov [6, 26].

Metódy používané na meranie vzdialenosti medzi časovými radmi môžeme rozdeliť do 3 skupín, založených na atribútoch, na modeloch a na tvare krivky. Pri atribútových metódach je pre každý časový rad vypočítaný atribútový vektor, na základe, ktorého je vypočítaná napr. Euklidovská vzdialenosť medzi jednotlivými inštanciami. Modelové techniky používajú parametrický model, do ktorého vstupujú časové rady. Vzdialenosť je potom definovaná ako vzdialenosť medzi jednotlivými modelmi. Metódy porovnávajúce tvary kriviek sa snažia prispôbiť výsledný tvar časového radu nelineárnym rozťahovaním a kontrakciou časových osí [9].

**Korelácia** Korelačný koeficient  $r(X, Y)$  meria stupeň lineárnej závislosti medzi dvoma časovými radmi  $X$  a  $Y$ . Vyjadríme ho vzorcom 3.

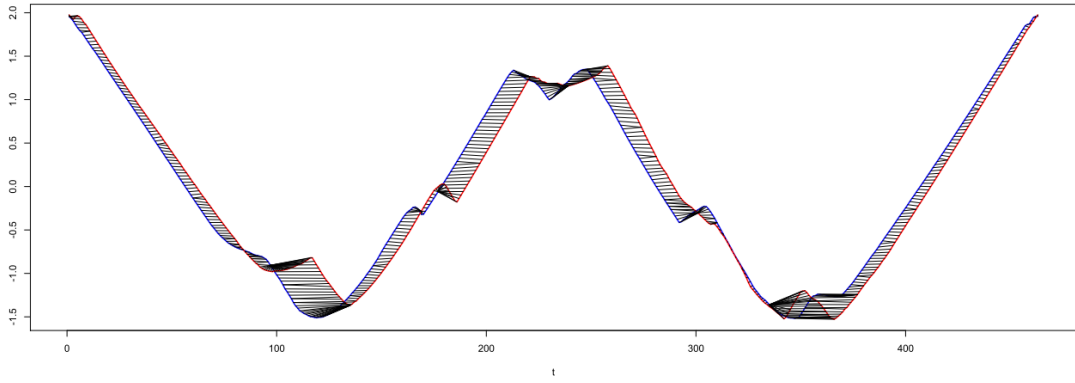
$$r(X, Y) = \frac{E[(X - E[X]) \cdot (Y - E[Y])]}{E[(X - E[X])^2] \cdot E[(Y - E[Y])^2]} \quad (3)$$

Korelácia blízka  $-1$  znamená, že nárast kriviek časových radov je zrkadlový, pri korelácii rovnjej  $0$  hovoríme o rozdielnych časových radoch a pri hodnote  $1$  o podobných. Na základe hodnoty korelácie, potom môžeme vyjadriť vzdialenosť vzorcom 4. Nevýhodou je, ak máme k dispozícii iba malú, prípadne krátku časť datasetu, podobnosť touto metrikou sa určuje len ťažko. Keďže korelácia zachytáva iba lineárnu podobnosť časových radov, pri aplikovaní metriky na dva nelineárne podobné časové rady, sú vyhodnotené ako vzdialené [6].

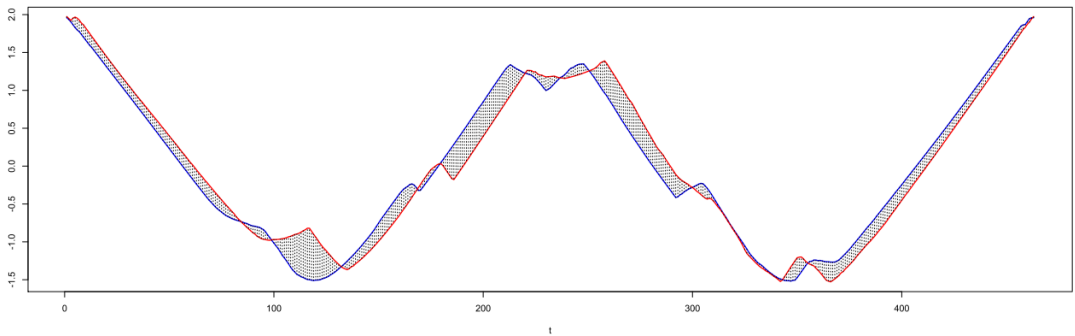
$$D_r(X, Y) = \sqrt{0.5 \cdot (1 - r(X, Y))} \quad (4)$$

**Dynamické deformovanie času** Ide o metódu (angl. *Dynamic Time Warping*), ktorá dokáže zachytiť nelineárne skreslenie medzi časovými radmi vďaka prideleniu viacerých hodnôt časového radu  $X$  druhému časovému radu  $Y$ . Takto metóda viac zodpovedá ľudskej intuícii. Na obrázku 9 si môžeme všimnúť, že sú porovnávané hodnoty, ktoré by sme intuitívne zvolili pri zarovnaní časových radov podľa tvaru krivky.  $D_{DTW}$  je vypočítané pomocou dynamického programovania, práve kvôli množstvu existujúcich kombinácií. Rekúzia je vyjadrená vzorcom 5 [6, 7].

$$D_{DTW}(i, j) = \begin{cases} d(x_i, y_j) + \min \begin{cases} D_{DTW}(i-1, j) \\ D_{DTW}(i, j-1) \end{cases} & \text{ak } i \neq 0 \text{ a } j \neq 0 \\ 0 & \text{ak } i = 0 \text{ a } j = 0 \\ \infty & \text{inak} \end{cases} \quad (5)$$



Obr. 9: Príklad porovnávania časových radov pomocou dynamickej deformácií času [10].



Obr. 10: Príklad porovnávania časových radov pomocou Euklidovskej vzdialenosti [10].

**Kvalitatívna vzdialenosť** Metóda je založená na kvalitatívnom porovnávaní tvaru dvoch časových radov. Pre časové rady  $X$  a  $Y$  vyberieme dvojicu bodov  $i$  a  $j$ , ktoré označujú zmenu premennej v danom časovom rade. Tak vznikajú 3 možnosti, hodnoty v časovom rade rastú ( $X_i < X_j$ ), nemenia sa ( $X_i \approx X_j$ ) alebo klesajú ( $X_i > X_j$ ). Vzdialenosť potom vyjadríme vzorcom 6, pomocou ktorého spočítame počet zhôd v raste časových radov. Práve funkcia  $Diff(q_1, q_2)$  vyjadruje rozdiel v zmene rastu. Metóda nemá nevýhody, ktoré vznikali pri korelácií, na druhú stranu je aplikovateľná iba na krátke časové rady bez toho, aby sa dramaticky znížila kvalita odhadu vzdialenosti. Podobnosť tvarov kriviek je detegovaná aj v prípade, kedy neexistuje medzi časovými radmi lineárna alebo nelineárna závislosť [6].

$$D_q(X, Y) = \sum_{i=1}^{n-1} \sum_{j=i+1}^n \frac{2 \cdot Diff(q(X_i, X_j), q(Y_i, Y_j))}{N \cdot (N - 1)} \quad (6)$$

**Euklidovská vzdialenosť** Je používaná najmä pri klasických zhukovacích problémoch. Ak zvolený časový rad má dĺžku  $n$ , vzdialenosť vypočítame vzorcom 7. Na obrázku 10 sú vždy porovnávané hodnoty vyskytujúce sa v rovnakom čase  $t$  [26].

$$D_E(X, Y) = \sqrt{\sum_{k=1}^n (X_{ik} - Y_{jk})^2} \quad (7)$$

**Manhattanovská vzdialenosť** Je rovnako ako Euklidovská vzdialenosť používaná najmä pri klasických zhukovacích problémoch. Výpočet je tiež veľmi podobný, môžeme ho vyjadriť

vzorcom 8

$$D_M(X, Y) = \sum_{k=1}^n |X_{ik} - Y_{jk}| \quad (8)$$

**Pearsonov korelačný koeficient** Vo vzorci 9 reprezentuje  $\tilde{X}$  aritmetický priemer časového radu  $X$ . Koeficient je používaný pri výpočte vzdialenosti, ktorá je založená na vzájomnej korelácii. Vzdialenosť vyjadříme vzorcom 9 [26].

$$r(X, Y) = \frac{\sum_{i=1}^n (X_i - \tilde{X}) \cdot (Y_i - \tilde{Y})}{\sqrt{\sum_{i=1}^n (X_i - \tilde{X})^2} \cdot \sqrt{\sum_{i=1}^n (Y_i - \tilde{Y})^2}} \quad (9)$$

$$D_P(X, Y) = 2 \cdot (1 - r(X, Y)) \quad (10)$$

**Vzdialenosť medzi krátkymi časovými radmi** Metóda (angl. *Short time series*) meria vzdialenosť ako sumu štvorcových rozdielov medzi krivkami jednotlivých časových radov. Na odstránenie nežiadúcich efektov škály sa používa z štandardizácia. Matematicky vzdialenosť vyjadříme vzorcom 11. Zložka  $t_k$  predstavuje čas [26].

$$D_{STS}(X, Y) = \sqrt{\sum_{k=1}^n \left( \frac{Y_{j(k+1)} - Y_{jk}}{t_{(k+1)} - t_k} - \frac{X_{i(k+1)} - X_{ik}}{t_{(k+1)} - t_k} \right)^2} \quad (11)$$

## 2.4 Redukcia dimenzií a výber atribútov

Najčastejšie používanými vysvetľujúcimi premennými sú:

- geografická poloha
- voltáž distribučnej siete
- tarifná skupina
- energetická sebestačnosť
- pravidelnosť platieb
- priemerná spotreba
- používané elektrospotrebiče
- veľkosť a typ objektu

Ďalšou premennou, ktorá vysvetľuje krátkodobé zmeny v správaní jednotlivých odberateľov je počasie. To je pre viacerých odberateľov rovnaké a viaže sa na konkrétny región, v ktorom sa nachádza meteorologická stanica. Dáta z nich sú väčšinou verejne dostupné [21].

### 2.4.1 Predspracovanie dát

Dáta z inteligentných meračov bývajú často nekompletné a s chýbajúcimi hodnotami. Väčšina algoritmov nedokáže spracovať takéto dáta a všetky časové rady musia byť rovnakej dĺžky. Rovnako sú nepoužiteľné dáta, ktoré boli poškodené pri samotnom zbere dát, nie však pri meraní. Zatiaľ čo chybné meracie zariadenia môžu spadať do detekcie anomálií a zaujímajú nás, dáta ktoré boli zduplikované alebo inak poškodené až pri ukladaní môžeme vylúčiť z datasetu. Prípady, kedy zákazník bol zapojený do siete až v priebehu meraní, musíme ošetrovať špeciálne, najčastejšie vynechaním alebo orezaním na najbližšiu menšiu dĺžku posuvného okna [13].

### 2.4.2 Výber atribútov

Väčšina dát pochádzajúcich z inteligentných meračov obsahuje iba stĺpce s časovou známkou a momentálnou spotrebou daného uzlu v sieti. Z týchto informácií ešte vieme vyčítať, mesiac, týždeň, deň prípadne deň v týždni alebo sviatok. Niektoré z extrahovaných atribútov úzko súvisia s funkciou spotreby elektrickej energie. Pri vytváraní presného modelu je preto nevyhnutné správne identifikovať takéto atribúty. Otestovanie všetkých kombinácií by bolo časovo a výpočtovo náročné. Najjednoduchším spôsobom je vytvorenie korelačnej matice jednotlivých vysvetľujúcich premenných a sledovanej veličiny [3].

### 2.4.3 Feature extraction

Ďalšou technikou používanou pri príprave dát je vytvorenie tvorba nových atribútov založených na pôvodných, surových dátach. V súvisiacom článku [13] ide napr. o vytvorenie hodinového priemeru pre každého zákazníka. Vzťah priemernej spotreby  $x_h$  môžeme definovať rôzne, v našom prípade ide o podiel mesačnej priemernej spotreby nasledujúceho mesiaca  $P_{h+1}$  a rozdielu dennej spotreby v aktuálnom a nasledujúcom mesiaci  $D_{h+1} - D_h$ , čo zapíšeme vzorcom 12

$$x_h = \frac{P_{h+1}}{D_{h+1} - D_h} \quad (12)$$

### 2.4.4 Agregácia dát

Dáta z meračov sú dostupné v pravidelných intervaloch. Pre jednoduchšiu manipuláciu s časovými radmi a redukciu dimenzií môžu byť dáta agregované do väčších intervalov. Pri použití viacerých datasetov s rôznou frekvenciou zberu, je agregácia hustejšieho časového radu nutná, keďže by tak vzniklo množstvo chýbajúcich hodnôt. Agregácia dát tiež vyhladzuje malé odchýlky v časových radoch, čo môže sťažiť identifikáciu náhlejšej zmeny správania odberateľov. To môže viesť k nesprávnemu označeniu správania odberateľa za neštandardné [3].

### 2.4.5 Redukcia dát

Jednou z najjednoduchších metód používaných pri redukcii dát je práve vzorkovanie (angl. *sampling*). Parametrami sú  $m$  a  $n$ , ktoré predstavujú počet dimenzií pred a po procese vzorkovania. Vzďialenosť medzi jednotlivými sa zväčšuje, no medzi všetkými inštanciami je rovnaká. Nevýhodou je, že tvar výsledného časového radu je oproti pôvodnému skreslený [7].

Lepšie výsledky dostaneme ak pri vzorkovaní budeme priemerovať hodnoty vo vzniknutých intervaloch. Táto metóda sa zvykne nazývať aj po častiach agregovaná aproximácia

(angl. *piecewise aggregate approximation*), skrátene PAA. Vylepšenou verziou je metóda APCA, kedy vzniknuté intervaly majú rôznu dĺžku, v závislosti od tvaru časového radu [?].

Ďalšou metódou je aproximácia pomocou rovných čiar, kde hlavnými kategóriami sú lineárna interpolácia a lineárna regresia. Bežnou metódou pri interpolácií je použiť po častiach lineárnu aproximáciu (angl. *piecewise linear approximation*). Algoritmus začína vytvorením odhadu časového radu, ktorý používa polovicu vytvorených intervalov. Tie sú následne zlučované, pokiaľ nie je splnené ukončovacie kritérium, napr. celkový počet intervalov. Poradie zlučovania je určené na základe ceny zlučovania [7].

Žiadúcim efektom pri redukovaní dimenzií je zachovanie charakteristických bodov. Tieto body sa zvyknú nazývať perцепčne dôležité body (angl. *perceptually important points*), skrátene PIP. Algoritmus najskôr určí prvé tri body a to prvý, posledný a bod, ktorý je od týchto dvoch najvzdialenejší. Ďalšie body sú určené na základe maximálnej vertikálnej vzdialenosti medzi dvoma susednými bodmi PIP. Proces pokračuje pokiaľ nie sú zoradené podľa dôležitosti všetky pôvodné body [7].

Ďalší prístup používaný pri reprezentovaní časových radov je ich konvertovanie z PAA do symbolickej formy. Najskôr sú diskretizované do intervalov, ktoré sú následne konvertované do symbolov. Táto metóda sa nazýva symbolická agregovaná aproximácia (angl. *symbolic aggregate approximation*), skrátene SAX. Algoritmus rozdelí obor hodnôt na regióny a každý z nich je namapovaný na iný symbol [7].

Ďalšou metódou je analýza hlavných komponentov (angl. *principal component analysis*), skrátene PCA. Obvykle sa PCA používa na elimináciu menej významných komponentov, čím sa znižuje dimenzionalita dát. Metóda má uplatnenie aj pri analýze či vizualizácii vysokodimenzionálnych dát [7].

Podobným problémom ako DTW je aj hľadanie najdlhšej spoločnej podpostupnosti (angl. *longest common subsequence*), skrátene LCSS. Ide o variáciu editačnej vzdialenosti a spájania dvoch sekvencií, ktoré sa môžu natiahnuť a vynechať tak niektoré elementy, bez toho aby sa menilo ich poradie v rámci postupnosti. Narozdiel od DTW, výstupy nie sú skreslené anomáliami v dátach [7].

#### 2.4.6 Segmentácia časových radov

Časové rady sú charakteristické súvislým priebehom a preto pri ich segmentácii je nutné čeliť viacerým problémom. Najjednoduchším prístupom je rozdeliť časový rad pomocou okna fixnej dĺžky do segmentov, z ktorých vznikajú jednoduché vzory. Jedinou úlohou je správne zvoliť dĺžku okna. Pri použití tejto metódy existujú dva hlavné problémy. Typické vzory môžu mať variabilnú dĺžku a ich výskyt môže byť rôzny. Práve preto je vhodnejšie použiť dynamický prístup, ktorý rozdeľuje časový rad práve v bodoch, ktoré zachovávajú cyklicky vyskytujúce sa vzory a vznikajú tak segmenty s rôznymi dĺžkami [7].

### 2.5 Anomálie v energetických časových radoch

V distribučných sieťach vznikajú straty, ktoré vo všeobecnosti môžeme rozdeliť na technické a netechnické straty. Technické straty sú spôsobené vlastnosťami obvodu ako napr. odporom materiálu či únikmi cez poškodenú izoláciu a môžu sa meniť pri rôznych teplotách či počasí. Medzi netechnické straty patria najmä nelegálne odbery. V práci sa budeme zaoberať ich identifikáciou na základe anomálneho správania spotrebiteľa. Keďže je časovo a finančne náročné pravidelne kontrolovať odberateľov tak, aby sa predišlo nelegálnemu odberu, je potrebné znížiť počet podozrivých odberateľov na minimum a zároveň maximalizovať pravdepodobnosť, s ktorou budú kontrolovaní iba odberatelia s neštandardnými odbermi [4, 17].

Pri identifikácii anomálií je spravidla najskôr definovaná oblasť, ktorej inštancie považujeme za normálne. Za anomálie považujeme inštancie nachádzajúce sa mimo oblasti, alebo na jej okraji. V prípade, že na tréning modelu máme k dispozícii označené iba anomálne dáta, je najskôr definovaná oblasť anomálnych dát a až následne normálna oblasť. Pri identifikácii anomálií v časových radoch v doméne energetiky je takýto prístup len ťažko aplikovateľný nakoľko podobné časové rady pri rôznych domácnostiach môžu, ale nemusia predstavovať normálne správanie [20].

Najčastejšími metódami používanými pri nelegálnom odbere je obídenie meračov spotreby energie či samotná manipulácia s nimi. Merače tak poskytujú nesprávne informácie o spotrebovanej energii odberateľmi, čo je možné detegovať až po identifikácii celkových netechnických strát v sieti. Ďalšou populárnou metódou používanou na detekciu nelegálnych odberov je analýza spotrebiteľského profilu zákazníka, kedy je našou snahou identifikovať nepravidelné vzory v nameraných spotrebiteľských dátach [17]. Tak ako je spomenuté v práci [5], nelegálne odbery môžu prebiehať iba v určitom čase prípadne iba pri zvýšenej spotrebe. Identifikácia takýchto nelegálnych odberov je náročná a prípadná kontrola nemusí odhaliť manipuláciu s meracím zariadením.

Vďaka inteligentným meračom je možné detegovať nelegálne odbery omnoho rýchlejšie, najmä kvôli vysokej frekvencii zberania údajov. Takto sú identifikované aj také odbery, ktoré by sa pri klasických meraniach stratili v týždenných alebo mesačných agregáciách. Úspešnosť detekcie nelegálnych odberov je výrazne vyššia najmä pri neštandardných spotrebách alebo ak sa jedná o neopakujúcu sa udalosť. Problém vzniká ak odberateľ systematicky mení nelegálnu spotrebu a kopíruje vzory, ktoré vznikajú v dátach pri legálnom odbere. Vtedy je potrebné mať k dispozícii väčšie množstvo dát a zároveň použiť zložitejšie algoritmy detekcie anomálií, ktoré sú popísané v súvisiacej práci [14].

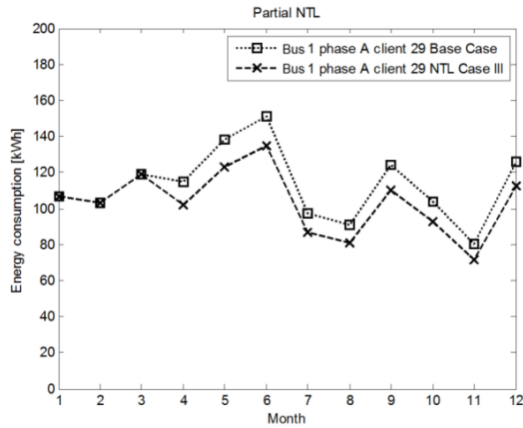
V súvisiacich prácach sa autori zaoberali určením netechnických strát v elektrických distribučných sieťach s použitím rôznych štatistických metód alebo strojového učenia. Dostupné dáta od distribútorov pochádzali najmä z jedného zdroja, lokality a zameriavali sa na jeden zdroj energie. Dáta, ktoré budeme mať k dispozícii disponujú podobnými vlastnosťami. V súvisiacej práci [4] boli použité viaceré zdroje dát a energie, následkom čoho bola zvýšená presnosť identifikácie anomálneho správania odberateľa. Ďalším zdrojom dát môžu byť agregované hodnoty meraní z klasických meračov, prípadne spätná väzba zo samotných kontrol odberateľov.

Typickou črtou netechnických strát je negatívny skok v spotrebe elektrickej energie. Nasleduje po poškodení inteligentného meracieho zariadenia alebo pri začatí nelegálneho odberu. Pokles môže byť zapríčinený aj zmenou počtom ľudí, miestností prípadne ich funkcie alebo zvýšením energetickej sebestačnosti. Následkom je nižšia nameraná spotreba energie v dlhšom horizonte. Zníženie spotreby môže byť čiastočné alebo úplne, ako môžeme vidieť na obrázkoch 11 a 12 [20, 25].

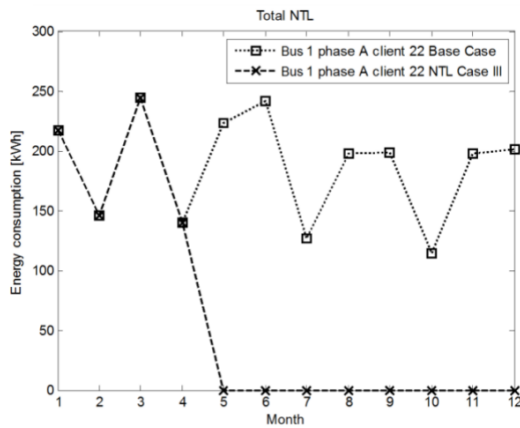
Z pohľadu výskytu anomálie môžu nastať nasledovné scenáre:

- Anomália vznikne neodborným pripojením odberateľa do energetickej siete alebo existuje ešte pred tým ako nastane zber dát inteligentnými meračmi. Keďže celý časový rad pozostáva z chybných dát, odhalenie anomálie je neprevdepodobné.
- Anomália vznikne v priebehu sledovaného intervalu a zároveň je odhalená a ďalej sa už nevyskytuje.
- Anomália vznikne v priebehu sledovaného intervalu a nie je odhalená. Táto skupina je predmetom celej práce.





Obr. 11: Čiastočné zníženie spotreby elektrickej energie [25].



Obr. 12: Úplné zníženie spotreby elektrickej energie [25].

Prvý prípad anomálií je možné odhaliť iba na základe vysvetľujúcich premenných, ktoré nemusia byť pravdivé, ak sú dodané samotným odberateľom. Druhú skupinu je potrebné v dátach označiť, prípadne anomálne merania vynechať pri ďalšom klasifikovaní [20].

## 2.6 Vyhodnocovacie metriky

Za predpokladu, že získané dáta budú obsahovať aj označené inštancie, prípadne budú označené dodatočne na základe výpočtov, môžeme na vyhodnotenie úspešnosti použiť aj maticu zámen. V takom prípade budeme musieť predpovedať triedu jednotlivých inštancií, a teda či sa jedná o normálneho alebo anomálneho odberateľa. Jednoduchý klasifikátor označí prvých  $n$  odberateľov, ktorých miera pravdepodobnosti výskytu čierneho odberu je najvyššia, za anomálnych. Pri vyjadrení matice zámen pomocou tabuľky 1 potom riadky predstavujú predpovedanú triedu a stĺpce skutočnú. Vznikajú tak 4 kategórie, ktoré sú označované ako *TRUE POSITIVE* (správne označení podozriví odberatelia), *FALSE POSITIVE* (nesprávne označení podozriví odberatelia), *TRUE NEGATIVE* (nesprávne označený normálny odberatelia) a *FALSE NEGATIVE* (správne označený normálny odberatelia). Kvalitu klasifikácie potom môžeme zmerať pomocou presnosti a pokrytia. Presnosť vypočítame vzorcom 13, kedy ide o pomer správne označených anomálií a celkový počet označených anomálií. Tým vypočítame percento odberateľov, ktorých sme správne klasifikovali ako podozrivých.

$$\text{Presnosť} = \frac{TP}{TP + FP} \quad (13)$$

Pokrytie označuje pomer správne označených anomálií a celkový počet skutočných anomálií. Vyjadríme ju pomocou vzorca 14.

$$\text{Pokrytie} = \frac{TP}{TP + FN} \quad (14)$$

Aby sa predišlo situácií, kedy sa v dátach nachádza iba malý počet anomálnych odberateľov a pre model by tak bolo výhodnejšie označovať iba tých, s ktorými si je takmer istý, je dôležité brať do úvahy aj túto metriku. Obe metriky sú vyjadrené v percentách [25, 27].

Ďalšou používanou metriku je aj tzv. F-skóre, ktoré obsahuje informácie oboch predchádzajúcich metrík. Keďže ide o súčet metrík, tiež je vyjadrené v percentách. Cieľom práce

Tabuľka 1: Matica zámen

		skutočnosť	
		anomálna kategória	normálna kategória
predikcia	anomálna kategória	TP (true positive)	FP (false positive)
	normálna kategória	FN (false negative)	TN (true negative)

je maximalizovať túto metriku. F-skóre vyjadríme pomocou vzorca 15, kde  $P$  predstavuje presnosť a  $C$  predstavuje pokrytie [25].

$$F = 2 \cdot (P^{-1} + C^{-1})^{-1} \quad (15)$$

## 2.7 Súvisiace práce v doméne energetiky

V [9] bola pri zhľukovaní použitá aj kombinácia viacerých metód, konkrétne k-means, metóda náhodnej výmeny a aglomeratívne zhľukovanie. Ako už bolo spomenuté v 2.2.3, úlohou algoritmu k-means namapovať existujúce inštancie do  $k$  zhľukov. Aj keď metóda náhodnej výmeny je obmedzená na zhľukovacie problémy v Euklidovskom priestore, bola použitá aj pri zhľukovaní časových radov a zabraňuje zaseknutiu zhľuku v lokálnom minime. V princípe je náhodne vybraný zhľuk, ktorý bude vymazaný a za centroid bude vybraný jeden časový rad z neho. Ak takéto riešenie je lepšie ako bez rozpustenia zhľuku je nahradené pôvodným. Ako bolo spomenuté v 2.3.1 cieľom aglomeratívneho zhľukovania je všetky časové rady označiť ako zhľuky a následne ich iteratívne zhľukovať. V momente, keď je vytvorených  $k$  zhľukov, je vypočítaný centroid zhľuku a určená hierarchia zhľukov.

V práci [3] boli pri určovaní podozrivých aktivít odberateľov úspešne aplikované rozhodovacie stromy. Po vytvorení trérovacej a testovacej množiny boli vygenerované rozhodovacie pravidlá reprezentujúce model normálnej spotreby elektrickej energie. Po predikcii boli porovnané predikované a testovacie dáta pomocou štatistickej metódy RMSE. Výsledkom experimentov je dostatočne presná predikcia spotreby energie vypočítaná iba na základe atribútov extrahovaných z časovej známky. Prekročením stanovenej hranice boli inštancie považované za anomálne. Počas experimentov boli použité M5P rozhodovacie učiace stromy.

Predmetom článku [22] bolo navrhnúť novú vlnovú techniku na reprezentovanie viacerých vlastností meraných dát. Tiež vytvorili nový model, ktorý v sebe zahŕňa viacero modelov, čím je pridávanie ďalších komponentov do detekčného systému jednoduché. Navrhovaná metóda je citlivá na lokálne zmeny vo vzore dát. Taktiež dosiahli s relatívne malým množstvom meraní presnosť až 78% na trérovacej množine a 70% na testovacej množine. Metóda je citlivá na zmeny amplitúd a frekvencií v dátach z meračov. Nevýhodou je, že model nie je citlivý na nevýrazne zmeny a trendy v dátach.

### 3 Špecifikácia požiadaviek

Pomocou metód strojového učenia a dátovej analytiky sa zameriame na identifikáciu anomálií v časových radoch v oblasti distribučných spoločností. Na základe neagregovaných dát, ktoré budeme mať k dispozícii môžu nastať dva rôzne scenáre. Ak dataset bude obsahovať iba časovú známku a spotrebu elektrickej energie daného zákazníka, zhľukovanie bude možné iba na základe časového radu spotreby a výsledky budú evaluované pomocou vzdialeností medzi jednotlivými časovými radmi vo vnútri zhľukov. Naopak, ak dataset bude obsahovať viaceré vysvetľujúce premenné, potom je možné vytvoriť ďalší model, ktorý tiež bude zhľukovať odberateľov. Tak bude zabezpečená evaluácia pôvodného zhľukovacieho modelu.

Vo vytvorených zhľukoch sa budeme zameriavať na identifikáciu anomálií, resp. intervalov s neštandardným správaním odberateľa. Tiež budeme považovať diskretizované časové rady za anomálie v prípade ak sa nenachádzajú v rámci zhľukov, do ktorých spadajú ostatné diskretizované časové rady daného odberateľa.

## Literatúra

- [1] Adhikari, R.: *An Introductory Study on Time Series Modeling and Forecasting*. Saarbrücken: LAP LAMBERT Academic Publishing, 2013, ISBN 9783659335082.
- [2] Chandola, V.; Banerjee, A.; Kumar, V.: Anomaly Detection: A Survey. *ACM Comput. Surv.*, ročník 41, č. 3, jul 2009: s. 15:1–15:58, ISSN 0360-0300, doi:10.1145/1541880.1541882.
- [3] Cody, C.; Ford, V.; Siraj, A.: Decision Tree Learning for Fraud Detection in Consumer Energy Consumption. *the 14th IEEE International Conference on Machine Learning and Applications*, 2015, doi:10.1109/ICMLA.2015.80.
- [4] Coma-Puig, B.; Carmona, J.; Gavalda, R.; aj.: Fraud detection in energy consumption: A supervised approach. *Proceedings - 3rd IEEE International Conference on Data Science and Advanced Analytics, DSAA 2016*, 2016: s. 120–129, doi:10.1109/DSAA.2016.19.
- [5] Depuru, S. S. S. R.: *Modeling, detection, and prevention of electricity theft for enhanced performance and security of power grid*. Dizertačná práca, The University of Toledo, 2012.
- [6] Dzeroski, S.; Gjorgjioski, V.; Slavkov, I.; aj.: Analysis of time series data with predictive clustering trees. *Knowledge Discovery in Inductive Databases*, 2007: s. 47–58, ISSN 03029743, doi:10.1007/978-3-540-75549-4\_5.
- [7] Fu, T. C.: A review on time series data mining. *Engineering Applications of Artificial Intelligence*, ročník 24, č. 1, 2011: s. 164–181, ISSN 09521976, doi:10.1016/j.engappai.2010.09.007.  
URL <http://dx.doi.org/10.1016/j.engappai.2010.09.007>
- [8] Grmanová, G.; Laurinec, P.; Rozinajová, V.; aj.: Incremental Ensemble Learning for Electricity Load Forecasting. *Acta Polytechnica Hungarica*, ročník 13, č. 2, 2016.
- [9] Hautamaki, V.; Nykanen, P.; Franti, P.: Time-series clustering by approximate prototypes. *2008 19th International Conference on Pattern Recognition*, 2008: s. 1–4, ISSN 1051-4651, doi:10.1109/ICPR.2008.4761105.  
URL <http://ieeexplore.ieee.org/document/4761105/>
- [10] Hooper, A.; Bekaert, D.; Spaans, K.: Recent advances in time series InSAR. ročník 12, 2010: str. 14201.
- [11] Kohonen, T.; Schroeder, M. R.; Huang, T. S. (editori): *Self-Organizing Maps*. Secaucus, NJ, USA: Springer-Verlag New York, Inc., tretie vydanie, 2001, ISBN 3540679219.
- [12] Meffe, A.; de Oliveira, C. C. B.: Technical loss calculation by distribution system segment with corrections from measurements. In *CIREN 2009 - 20th International Conference and Exhibition on Electricity Distribution - Part 1*, June 2009, ISSN 0537-9989, s. 1–4, doi:10.1049/cp.2009.0962.
- [13] Nagi, J.; Yap, K. S.; Tiong, S. K.; aj.: Detection of Abnormalities and Electricity Theft using Genetic Support Vector Machines. In *TENCON 2008 - 2008 IEEE Region 10 Conference*, 12 2008, ISSN 2159-3442, s. 1–6, doi:10.1109/TENCON.2008.4766403.

- [14] Nikovski, D. N.; Wang, Z.; Esenther, A.; aj.: Smart Meter Data Analysis for Power Theft Detection. *Machine Learning and Data Mining in Pattern Recognition*, 2013: s. 379–389, ISSN 03029743, doi:10.1007/978-3-642-39712-7\_29.
- [15] Perea, J. A.; Deckard, A.; Haase, S. B.; aj.: SW1PerS: Sliding windows and 1-persistence scoring; discovering periodicity in gene expression time series data. *BMC Bioinformatics*, ročník 16, č. 1, Aug 2015: str. 257, ISSN 1471-2105, doi:10.1186/s12859-015-0645-6.  
URL <https://doi.org/10.1186/s12859-015-0645-6>
- [16] Rani, S.; Sikka, G.: Recent Techniques of Clustering of Time Series Data: A Survey. *International Journal of Computer Applications*, ročník 52, č. 15, 2012: s. 1–9, ISSN 09758887, doi:10.5120/8282-1278.  
URL <http://research.ijcaonline.org/volume52/number15/pxc3881278.pdf>
- [17] Sahoo, S.; Nikovski, D.; Muso, T.; aj.: Electricity theft detection using smart meter data. *2015 IEEE Power & Energy Society Innovative Smart Grid Technologies Conference (ISGT)*, 2015: s. 1–5, doi:10.1109/ISGT.2015.7131776.
- [18] Salvador, S.; Chan, P.: Learning states and rules for detecting anomalies in time series. *Applied Intelligence*, ročník 23, č. 3, 2005: s. 241–255, ISSN 0924669X, doi:10.1007/s10489-005-4610-3.
- [19] Sapankevych, N. I.; Sankar, R.: Time Series Prediction Using Support Vector Machines: A Survey. *IEEE Computational Intelligence Magazine*, ročník 4, č. 2, May 2009: s. 24–38, ISSN 1556-603X, doi:10.1109/MCI.2009.932254.
- [20] Spirić, J. V.; Dočić, M. B.; Stanković, S. S.: Fraud detection in registered electricity time series. *International Journal of Electrical Power and Energy Systems*, ročník 71, 2015: s. 42–50, ISSN 01420615, doi:10.1016/j.ijepes.2015.02.037.
- [21] Stankovic, S. S.; Doc, M. B.; Popovic, T. D.; aj.: Using the rough set theory to detect fraud committed by electricity customers. *International Journal of Electrical Power & Energy Systems*, ročník 62, 2014: s. 727–734, ISSN 0142-0615, doi:10.1016/j.ijepes.2014.05.004.  
URL <http://www.sciencedirect.com/science/article/pii/S0142061514002750>
- [22] Tagaris, H.; Lachsz, A.; Jeffrey, M.: Wavelet based feature extraction and multiple classifiers for electricity fraud detection. *IEEE/PES Transmission and Distribution Conference and Exhibition*, ročník 3, č. November 2002, 2002: s. 2251–2256, doi:10.1109/TDC.2002.1177814.  
URL <http://ieeexplore.ieee.org/xpls/abs{all}.jsp?arnumber=1177814'escapeXml='false'/{%}3E>
- [23] Tan, P.-N.; Steinbach, M.; Kumar, V.: *Introduction to Data Mining*. Addison Wesley, us ed vydanie, May 2005, ISBN 0321321367.
- [24] Teng, M.: Anomaly detection on time series. *2010 IEEE International Conference on Progress in Informatics and Computing*, ročník 1, 2010: s. 603–608, doi:10.1109/PIC.2010.5687485, 1708.02975.

URL <http://ieeexplore.ieee.org/xpls/abs{all}.jsp?arnumber=5687485>

- [25] Trevizan, R. D.; Bretas, A. S.; Rossoni, A.: Nontechnical Losses detection: A Discrete Cosine Transform and Optimum-Path Forest based approach. *2015 North American Power Symposium, NAPS 2015*, October 2015, doi:10.1109/NAPS.2015.7335160.
- [26] Warren Liao, T.: Clustering of time series data - A survey. *Pattern Recognition*, ročník 38, č. 11, 2005: s. 1857–1874, ISSN 00313203, doi:10.1016/j.patcog.2005.01.025.
- [27] Wei, L.; Keogh, E.: Semi-supervised time series classification. *Proceedings of the 12th ACM SIGKDD international conference on Knowledge discovery and data mining - KDD '06*, 2006: str. 748, ISSN 01651684, doi:10.1145/1150402.1150498.  
URL <http://portal.acm.org/citation.cfm?doid=1150402.1150498>
- [28] Xiong, Y.; Yeung, D.-Y.: Mixtures of ARMA models for model-based time series clustering. In *2002 IEEE International Conference on Data Mining, 2002. Proceedings.*, 2002, s. 717–720, doi:10.1109/ICDM.2002.1184037.

## A Plán do zimného semestra

Poradie týždňa v zimnom semestri	Popis plánovanej činnosti
1. týždeň	dokončenie analýzy literatúry, špecifikácie, výber vhodných metód na experimenty
2. týždeň	nájdenie viacerých vhodných zdrojov dát, analýza datasetov
3. týždeň	analýza datasetov, doplnenie datasetov dátami z iných zdrojov
4. týždeň	výber atribútov, spojenie dát, príprava prostredia pre dáta a manipuláciu s nimi
5. týždeň	hlbšia analýza zvolených datasetov, agregácia časových radov, výber technológií
6. týždeň	vyhladenie a diskretizácia časových radov
7. týždeň	tvorba prototypu modelu zhlukujúceho časové rady
8. týždeň	prvé zhlukovacie experimenty, skúmanie vytvorených zhlukov
9. týždeň	tvorba identifikátora pre anomálne časové rady nachádzajúce sa mimo početných zhlukov
10. týždeň	tvorba prototypu modelu identifikujúceho anomálie v rámci zhlukov
11. týždeň	prvé experimenty, skúmanie identifikovaných anomálií
12. týždeň	tvorba prezentácie a príprava na obhajoby

Počas zimného semestra budú analyzované dostupné datasety. Následne budú spracované a upravené do formátu potrebného pre model. Po vytvorení prototypu modelu budú čo najskôr evaluované výsledky. Na základe nich budú ďalej spracovávané dáta a menené datasety. Taktiež sa bližšie pozrieme na identifikované anomálie dáta a určíme ich pôvod na základe dostupných vysvetľujúcich premenných. V závere semestra budú prebiehať prípravy na obhajoby tvorbou prezentácie a súvisiacich materiálov.

## B Plán do letného semestra

Poradie týždňa v letnom semestri	Popis plánovanej činnosti
1. týždeň	vytvorenie validačného modelu pre zhukovanie na základe vysvetľujúcich premenných
2. týždeň	použitie rôznych metrík pri určovaní podobnosti jednotlivých časových radov
3. týždeň	výber a použitie iných atribútov pre trénovacie dáta pre zhukovací model
4. týždeň	použitie rôznych diskretizačných okien pre trénovací model
5. týždeň	optimalizácia modelu a výpočtov, vyhodnotenie experimentov
6. týždeň	porovnanie výsledkov z experimentov s naštudovanou literatúrou, overenie výsledkov
7. týždeň	vytvorenie článku na študentskú konferenciu, dokončovanie experimentov
8. týždeň	príprava na študentskú vedeckú konferenciu, vizualizácia dosiahnutých výsledkov
9. týždeň	zpracovanie pripomienok z konferencie, návrh ďalších experimentov
10. týždeň	písanie technickej dokumentácie k softvérovému dielu, posledné experimentovanie
11. týždeň	vyhodnotenie experimentov, evaluácia riešenia, zhodnotenie výsledkov
12. týždeň	tvorba prezentácie a príprava na obhajobu projektu

V úvode semestra bude vytvorený ďalší zhukovací model, ktorý bude vytvárať zhuky iba na základe vysvetľujúcich premenných. Cieľom bude overiť vytvorené zhuky, ktoré vznikli na základe profilov spotreby elektrickej energie. Ďalšie navrhované vylepšenia budú zapracované na základe vlastností dát a dosiahnutých výsledkov. V prípade veľkej časovej náročnosti budú optimalizované jednotlivé procesy pri manipulácii dát. Na konci semestra sa koná študentská konferencia, do ktorej by sme chceli prispieť článkom a získať tak dôležitú spätnú väzbu. Na záver by sme chceli zapracovať jednotlivé pripomienky a znova vyhodnotiť výsledky, ktoré budú použité pri obhajobe projektu